

複数本の円柱による波の変形について

福山大学工学部 正員 ○ 梅田 真三郎
神戸大学工学部 正員 審 源亮

1. まえがき

近年、海洋開発に伴って複数の大規模な人工島や構造物が海上に建設されるようになり、種々の解法があるが、境界面を円柱面と看做して方程式の解を円柱関数で表わす場合があり、その計算においては、波の長さと円柱径の比較などから近似的に数値計算を立てられる。

本研究では、複数本の円柱による波の変形に関する円柱径の増大による円柱関数を用いた場合の厳密解と近似解との差および円柱の相互干渉などをつけて考察した。

2. 理論式

図-1 は 2 本の円柱に、 x 軸の正方向に進行する波 e^{ikx} が入射するとき、入射波の速度ポテンシャル ϕ_0 と反射波の速度ポテンシャル ϕ_r は、線型の水面条件および底面条件

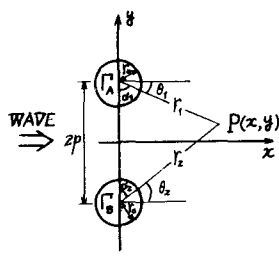


図-1 座標系(2本の円柱の場合)

を満足する形で表わされ、これらに重に含まれる関数 $\phi(x, y)$ は、連続の条件と円柱 Γ_A, Γ_B 上での境界条件より決定される。

今、入射進行波 e^{ikx} を円柱 Γ_A, Γ_B に対して図-1 に示すように座標を考へ、各々を ϕ^A, ϕ^B とすれば、

$$\phi_0 = \sum_{n=-\infty}^{\infty} i^n J_n(R_1) e^{in\theta_1} \quad (1)$$

$$\phi_0^B = \sum_{n=-\infty}^{\infty} i^n J_n(R_2) e^{in\theta_2} \quad (2)$$

ここで $z = iJ_n(R)$ は、 n 次の Bessel 関数で、 $R_1 = kR_1, R_2 = kR_2$ で、また $R_0 = kR_0, R_p = 2kp$ とする。以下 k は波数である。この ϕ^A が円柱 Γ_A に入射し

たときの反射波を ϕ_r^A, ϕ_r^B が円柱 Γ_B に入射したときの反射波を ϕ_r^B とし、それらの場合の速度ポテンシャル ψ_j , ψ_{j+1} は次のように表される。

$$\begin{aligned} \psi_j &= \phi_r^A + \phi_r^B \\ &= \sum_{n=-\infty}^{\infty} i^n J_n(R_1) e^{in\theta_1} + \sum_{n=-\infty}^{\infty} d_n H_n^{(2)}(R_2) e^{in\theta_2} \end{aligned} \quad (3)$$

$$\begin{aligned} \psi_{j+1} &= \phi_r^B + \phi_r^A \\ &= \sum_{n=-\infty}^{\infty} i^n J_n(R_2) e^{in\theta_2} + \sum_{n=-\infty}^{\infty} d_n H_n^{(2)}(R_1) e^{in\theta_1} \end{aligned} \quad (4)$$

ここで $H_n^{(2)}(R)$ は、 n 次の第 2 種 Hankel 関数で、以下に述べては (2) を省略する。次に ϕ_r^B が円柱 Γ_B に入射したときの反射波を ϕ_r^B とし、以下順次それらの円柱への入、反射を同様に表せると、一般に次のようく表せらる。

$$\psi_j = \phi_r^B + \phi_r^A \quad (j=1, 3, 5, \dots) \quad (5)$$

$$\psi_{j+1} = \phi_r^A + \phi_r^B \quad (k = \frac{j-1}{2}) \quad (6)$$

ここで、それらの速度ポテンシャル ψ_j, ψ_{j+1} に付して境界条件 $[2\psi_j / \partial R_1]_{R_1=R_0} = 0, [2\psi_{j+1} / \partial R_2]_{R_2=R_0} = 0$ を用いて適用すれば、反射波の係数 d_n が求まり、各々の速度ポテンシャル ψ_j の和として中を求めることが可能となる。

しかし、速度ポテンシャル ψ_j と ψ_{j+1} には、それらの入、反射波の項に両円柱と関係する変数が表われる。このようないくつか場合には、円柱関数の加法定理や近似式の適用などが考えらるが、今回は次のように検討を行ない、各速度ポテンシャル ψ_j の級数が収束するまでに厳密解と近似解を求めた。

速度ポテンシャル ψ_j と ψ_{j+1} の入射波の項に関する式は、それらの円柱 Γ_A から距離 R と角度 θ との関係で表わされており、その R と θ を定数とした場合と、近似的に R の変化の影響に対する θ の変化の影響が小さいと見て θ を定数とした場合とで円柱径の増大によって求める速度ポテンシャル ψ_j の程度変化するかを

検討してみた。検討式の一例として ψ_3 の場合を示す。

$$\begin{aligned}\psi_3 &= \phi_1^B + \phi_2^A \\ &= \sum_{n=-\infty}^{\infty} \left(-i^n \frac{J_n(R_2)}{H_n(R_2)} H_n(R_2) e^{in\theta_2} + d_n H_n(R_2) e^{in\theta_1} \right) \quad (7)\end{aligned}$$

$$\frac{\partial \psi_3}{\partial R_1} = \sum_{n=-\infty}^{\infty} \left[\left(-i^n \frac{J_n(R_2)}{H_n(R_2)} \frac{\partial}{\partial R_1} \left\{ H_n(R_2) e^{in\theta_2} \right\} + d_n H_n'(R_2) e^{in\theta_1} \right) \right] \quad (8)$$

この場合、 R_1, θ_1 が独立変数と見え、 R_2, θ_2 がそれそれ R_1 と θ_1 の関数として偏微分を行なう、境界条件 $[\partial \psi_3 / \partial R_1]_{R_1=R_0}=0$ から d_n を求めるところ。

$$d_n = \beta_{1n} \cdot i^n \frac{J_n(R_2)}{H_n(R_2)} \frac{H_n'(R_2)}{R_2} \cdot \frac{R_0 - R_p \cos \theta_1}{R_p} \cdot e^{in\theta_2} \cdot e^{-in\theta_1} \quad (9)$$

$= 1 =$,

$$\begin{aligned}\beta_{1n} &= 1 - \left(\frac{R_2}{R_0 - R_p \cos \theta_1} \right)^2 \\ &+ i^n H_n(R_2) \left\{ \frac{R_2 - R_p \cos \theta_1}{R_2 R_p \sin \theta_1} - \frac{R_2}{R_p (R_0 - R_p \cos \theta_1) \sin \theta_1} \right\} \quad (10)\end{aligned}$$

$$\theta_2 = \frac{\pi}{2} - \theta_1' \quad (11) \quad \sin \theta_2' = \frac{R_2}{R_0} \sin \theta_1 \quad (12)$$

このようにして ψ_3 を求めるところ、それそれには円柱から距離 R と角度 θ などの関数に、円柱径 R_0 、円柱間隔 R_p および角度 θ_1 との関数で表わされる係数を乘じた形となる。もし θ を定数と見て計算には、それそれの係数が1に相当するものとする。前者の場合の求め方中の絶対値を回折係数 D_{nk} とし、後者の場合のそれを D とし、種々の円柱径と円柱間隔に対して回折係数の変化を調べた。なお、二つうちの計算では速度ボテンシャル ψ_1, ψ_2 まで求めた。

3. 計算結果と考察

(1) 式で表わされる係数からもわかるように、回折係数 D_{nk} の算定においては不連続点が存在する。2本の円柱の場合、たとえば円柱間隔 $2p = 2.0L$ (L : 波長) の場合には、円柱径 R_0 が $L/6$ 程度までの小さなものに対しては、回折係数 D_{nk} と D との差はほとんどないが、円柱径がそれ以上になるとその差が大きくなるところがあらわれる。その一例として $R_0 = L/3$ の場合の円柱背後ににおける D_{nk} と D との差の分布状況を図-2に示す。不連続点に近づくにつれてその差が大きくなるところである。

次に θ を定数と見て導いた回折係数 D に円柱か

らの距離の比を乗じたもので、円柱による相互干渉の程度を見てみると、円柱半径 $R_0 = L/3$ に対しては図-3のようとなる結果となる。たゞ、 $\eta/L = 0.0$ と 0.5 、 $\eta/L = 1.5$ と 2.0 を比較すれば、多少値の差が大きいところもあるが、比較的よく似た変化を示している。また二つの円柱径の場合は、 $\eta/L = 1.5$ 付近までは両円柱からの影響を強く受けてしまい、それ以後は漸次減少していくようである。

一方、3本の円柱に対しても、(5)と(6)式にセオードの円柱による項を加えて2本と同じ様の考え方で検討することができる。

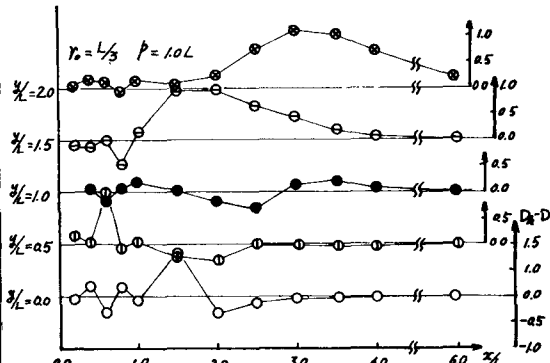


図-2 回折係数 D_{nk} と D との差の分布

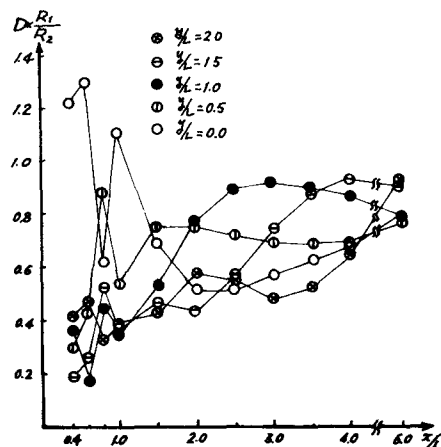


図-3 2本の円柱による相互干渉
<参考文献>

大浦 丹：複数本の直立円柱に働く波力について、日本造船学会論文集、第131号